

多柱基礎の立体解析

岩手大学工学部 正員 宮本 裕

最近長大橋梁基礎として、多柱基礎が考えられている。本論文は多柱基礎を高次不静定構造物と考え立体解析をしたものである。本論文の目的は多柱基礎の断面力や変形を求めるこことにより多柱基礎の経済的合理的設計のための有益な資料を与えることと、群杭の性状を明らかにすることである。またこの解析の結果から多柱基礎の立体制動応答解析が可能となるであろう。

解析の理論

図-1のようなモデルを考える。ここで柱は図-2のような断面である。頂板は剛なものとし変形がないと仮定する。そうすると静定基系は中央の柱のみが一本あり、ほかの柱のない状態で、いわゆるキノコ型の場合となる。いま一本の柱に働く不静定力を座標軸方向に働く3つの力と座標軸の回りの3つのモーメントとで表わす。各柱に働く不静定力と外力との間に成立する仕事方程式は式(1)のようになる。

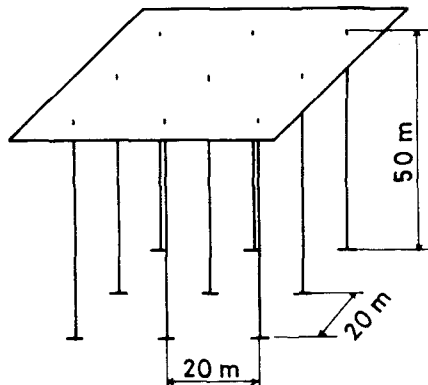
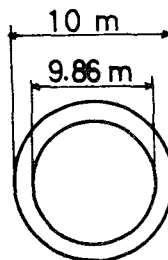


図-1



$$\left. \begin{aligned} EI &= 1.4 \times 10^5 \text{ kg cm}^2 \\ EA &= 1.12 \times 10^5 \text{ kg} \\ GJ &= 1.08 \times 10^5 \text{ kg cm}^2 \end{aligned} \right\}$$

図-2

$$\left. \begin{aligned} \delta_{11}^{11} X_{11} + \delta_{11}^{12} X_{12} + \delta_{11}^{13} X_{13} + \delta_{11}^{14} X_{14} + \delta_{11}^{15} X_{15} + \delta_{11}^{16} X_{16} + \dots &= -\delta_{110} P - \delta_{110} M, \\ \delta_{21}^{11} X_{11} + \delta_{21}^{12} X_{12} + \delta_{21}^{13} X_{13} + \delta_{21}^{14} X_{14} + \delta_{21}^{15} X_{15} + \delta_{21}^{16} X_{16} + \dots &= -\delta_{210} P - \delta_{210} M, \end{aligned} \right\} \dots (1)$$

ここで

$$\delta = \int \frac{M_x \bar{M}_x}{EI} dy + \int \frac{M_y \bar{M}_y}{GJ} dy + \int \frac{M_z \bar{M}_z}{EI} dy + \int \frac{N \bar{N}}{EA} dy \dots (2)$$

とする。

ここで例を示せば、図-3
は第m番目の柱の不静定
力である。したがって
式(1) 中で δ_{11}^{12} といふ
のは第1番目の柱の X_{11}
の力と第1番目の柱の X_{12}
の力との間に生ずられる仕
事である。また δ_{10} とは
第1番目の柱の X_{11} の力と
外力との間に生ずられる仕
事である。式(1)において
外力は簡単に P と M と
で表わされているが、く
わしく説明すると図-5の
ように3つの軸方向の力
と3つの軸方向の時計回
りのモーメントとに生る
。

一般に図-3のようす第
m番目の柱と図-4のよう
す第n番目の柱との間に
生ずられる仕事方程式の係
数は表-1のようすとなる。またこの特別な場合として第m番目の柱自身のする仕事方程式の係数は表-2
のようすとなる。

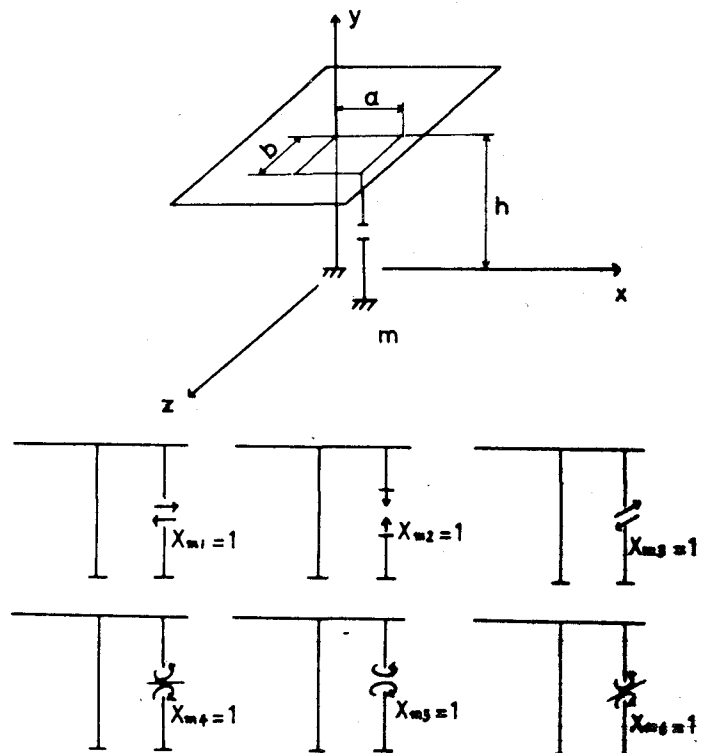
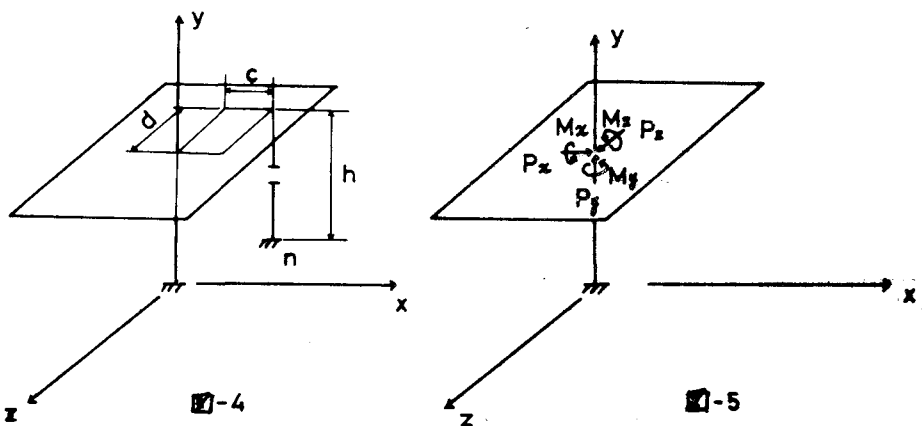


図-3



	m1	m2	m3	m4	m5	m6
n1	$\frac{bdh}{GJ} + \frac{h^3}{12EI}$		$\frac{ach}{GJ}$		$\frac{dh}{GJ}$	
n2		$\frac{bdh}{EI} + \frac{ach}{EI} + \frac{h}{EA}$		$\frac{dh}{EI}$		$-\frac{ch}{EI}$
n3	$\frac{bch}{GJ}$		$\frac{ach}{GJ} + \frac{h^3}{12EI}$		$\frac{ch}{GJ}$	
n4		$\frac{bh}{EI}$		$\frac{h}{EI}$		
n5	$\frac{bh}{GJ}$		$\frac{ah}{GJ}$		$\frac{h}{GJ}$	
n6		$-\frac{ah}{EI}$				$\frac{h}{EI}$

表-1

	m1	m2	m3	m4	m5	m6
m1	$\frac{b^2h}{GJ} + \frac{h^3}{6EI}$		$\frac{abh}{GJ}$		$\frac{bh}{GJ}$	
m2		$\frac{b^2h}{EI} + \frac{dh}{EI} + \frac{2h}{EA}$		$\frac{bh}{EI}$		$-\frac{ah}{EI}$
m3	$\frac{abh}{EI}$		$\frac{dh}{GJ} + \frac{h^3}{6EI}$		$\frac{ah}{GJ}$	
m4		$\frac{bh}{EI}$		$\frac{2h}{EI}$		
m5	$\frac{bh}{GJ}$		$\frac{ah}{GJ}$		$\frac{2h}{GJ}$	
m6		$-\frac{ah}{EI}$				$\frac{2h}{EI}$

表-2

さらに第m番目の柱と外力との間にならされる仕事は表-3のようにある。したがって式(1)の係数はすべて定められた。式(1)は X_{mj} について解くことができる。この解はすなわち柱の断面力である。

X_{m1} は第m番目の柱のx方向のせん断力である。

X_{m2} は第m番目の柱の軸力である。

X_{m3} は第m番目の柱のy方向のせん断力である。

X_{m4} は第m番目の柱のx軸の回りの曲げモーメントである。

X_{m5} は第m番目の柱のy軸の回りの曲げモーメントである。 X_{m6} は第m番目の柱のx軸の回りの曲げモーメントである。

計算例

計算例として図-6のようす柱の配置の場合について計算した。もちろん本論文の理論は一般的柱の配置について考えていいので、柱の任意の配置について適用できる。

終りに本論文の研究をすすめるにあたって北海道大学工学部渡辺昇教授に非常にお世話をうけたことを感謝いたします。

	P_x	P_y	P_z	M_x	M_y	M_z
m10	$\frac{h^3}{12EI}$				$\frac{bh}{GJ}$	
m20	$\frac{ah^2}{2EI}$	$-\frac{h}{EA}$	$\frac{bh^2}{2EI}$	$\frac{bh}{EI}$		$-\frac{ah}{EI}$
m30			$-\frac{h^3}{12EI}$		$\frac{ah}{GJ}$	
m40				$\frac{h^2}{2EI}$	$\frac{h}{EI}$	
m50						$\frac{h}{GJ}$
m60	$-\frac{h^2}{2EI}$					$\frac{h}{EI}$

表-3

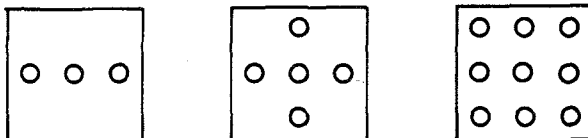


図-6